MINISTERE DΕ L'INTERIEUR

-==0000000===---

STANDS DE

===0000000===---

IN SETRUCETION TECHNIQUE

===0000000===---

EDITION 1990

===000000===

COPIE

.53

. .

PLAN DE L'OUVRAGE

A -	Instruction Générale	page	2	à	8	
В -	Ventilation	page	9	à	37	
C -	Isolation acoustique	page	38	à	42	
 D -	Revêtements de sol Doublage des parois	page	43	à	47	
E -	Eclairage	page	48	à	57	
F -	Agencements spécifiques	page	58	à	63	
	- marquage au sol	page	60			
	- ciblerie	page	60			
	- pièges à balles	page	61			

ANNEXES

	Annexe	I	Ventilation	page	1 à 8	
	Annexe	II	Acoustique	page	9 à 27	
L	Annexe	III	Procédure d'es d'évaluation d	les maté		
	Annexe	IV	Protection phor Etudes évaluative	es et co	ndividuelle omparatives 33 à 37	

ISOLATION ACOUSTIQUE

---==0000000===---

3 ty

35.

SOMMAIRE

- I GENERALITES
- II ISOLATION PAR RAPPORT AU VOISINAGE
- III ISOLATION INTERIEURE
- IV CONCLUSION

ISOLATION ACOUSTIQUE

I - GENERALITES :

L'isolation acoustique des stands de tir se décompose en 2 parties :

- La première concerne l'isolation par rapport au voisinage direct du stand des nuisances (bruit de ventilation et détonations) propre à la pratique du tir ;
- La seconde concerne l'isolation acoustique intérieure au stand devant atténuer dans des proportions sensibles la gêne occasionnée aux tireurs et aux moniteurs.

II - ISOLATION PAR RAPPORT AU VOISINAGE :

a) Implantation des stands de tir :

La limitation des nuisances sera d'autant plus effective si le concepteur choisit une implantation judicieuse du stand dans le site où la construction est prévue.

Dans le cas d'un stand inclus dans la construction (Hôtel de Police ou Commissariat de Police), il conviendra d'éviter de la placer à proximité de locaux recevant du public, de bureaux et toutes autres locaux occupés de façon sedentaire.

Un emplacement à proximité des parkings, garage atelier ou encore de locaux occupés de façon intermittente (salle de sport, salle de cours) est recommande.

S'agissant de la création d'un stand de tir indépendant de la construction envisagée (cas des CRS ou école de police), le risque de propagation des nuisances est diminué de façon sensible toutefois les remarques citées ci-dessus restent valables.

Enfin le concepteur veillera, dans les 2 cas de figure évoqués à tenir compte des vents dominants lors de l'implantation du stand ceci afin d'éviter que les rejets polluants et les bruits résiduels soient projetés directement vers des bureaux ou des habitations avoisinants.

b) Technique d'isolation :

Rappel de la loi de masse (voir annexe I).

On voit donc que l'indice d'affaiblissement acoutique R croît à raison de 12 db (A) pour une masse surfacique supérieure à 150 kg/m2 alors que l'accroissement n'est que de 4 db (A) pour une masse inférieure à 150 kg/m2.

On trouvera en annexe 2 la liste des matériaux susceptibles d'atteindre les objectifs recherchés compte tenu des bruits d'émissions (voir annexe 3). Le complexe d'isolation acoustique intérieure participera bien entendu à l'affaiblissement accoustique complétant ainsi l'efficacité du matériau préconisé.

III - ISOLATION INTERIEURE :

a) Bruit d'émission :

Le niveau sonore moyen est de 130 db (maxi pour une fréquence voisine de 500 hz).

b) Traitement acoustique du local:

On cherchera par l'emploi des matériaux décrits à l'annexe 2 à obtenir une durée de réverbération aussi faible que possible, de l'ordre de 0,5 à 2 secondes.

En effet, aucune action n'étant possible sur la source même du bruit, le traitement des parois, des planchers haut et bas viseront à rendre le local aussi lourd que possible en diminuant de façon importante le niveau du bruit réverbéré.

c) Rappel de la durée de réverbération :

Temps nécessaire pour que la pression acoustique entretenue dans un local atteigne le 1/1000ème de sa valeur initiale lorsque l'on coupe brusquement la source du bruit, autrement dit c'est le temps mis par le niveau sonore pour diminuer 60 db lorsque l'on coupe la source du bruit.

d) Matériaux acoustiques utilisables :

3 types de matériaux sont recensés : les matériaux poreux, les diaphragmes et les résonateurs.

S'agissant des matériaux poreux : leur coefficient d'absorption est important aux fréquences élevées mais faible aux fréquences basses sauf en épaisseur importante (supérieur à 50 mm) voir annexe 4.

Les diaphragmes et les résonateurs sont opérants pour les basses fréquentes néanmoins leur emploi est incompatible avec la destination du local.

L'Héraclite, permettant une absorption nette des impacts de balle en raison de sa rigidité, est opérante aux fréquences comprises entre 125 et 500 hz.

En ce cas les panneaux d'Héraclite doivent avoir 10 cm d'épaisseur. Par ailleurs, entre le mur en béton et le panneau d'Héraclite, on placera un panneau de laine minérale à haute densité (au moins 5 cm d'épaisseur).

./...

IV - CONCLUSION:

Le complexe acoustique défini plus haut paraît devoir assurer un confort minimum aux usagers du stand de tir. Toutefois, pour des raisons liées à la conception générale du bâtiment, le stand de tir se trouve en mitoyenneté avec des locaux tels que bureaux, hall du public, locaux d'audition, les matériaux isolants verront leurs épaisseurs augmenter.

NOTA:

Des matériaux complémentaires type mousse d'insonorisation peuvent être utilisés en sus, sous réserve qu'ils aient satisfait aux procédures d'agrément requises par la D.L.P. (Matériaux types MO ou Ml ne dégageant que des vapeurs peu toxiques à l'occasion d'une combustion forcée).

ANNEXE 11

ACOUSTIQUE

-=-=-

:

-

1

ANNEXE TECHNIQUE:

Α .

LOI DE MASSE

-=-=-

LA LOI DE MASSE

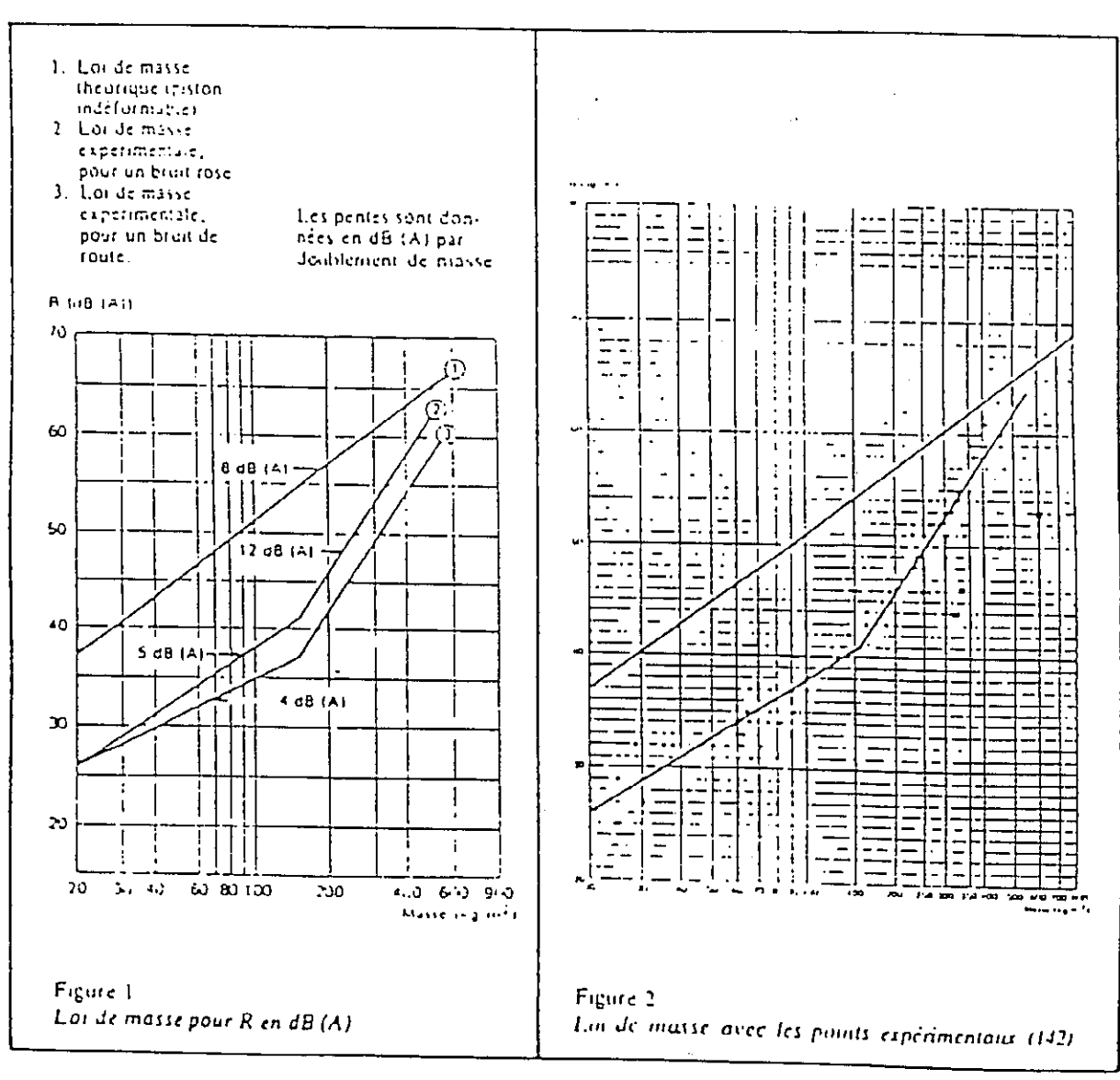
L'indice d'affaiblissement acoustique R d'une paroi simple, verticale ou horizontale, séparant deux champs acoustiques diffus, n'est, en première approximation, fonction que de la masse surfacique et de la fréquence. Exprimé en dB (A), l'indice R dépend alors de la masse surfacique et du spectre d'emission choisi.

La figure I montre les lois qui relient l'indice R exprimé en dB (A) et la masse surfacique en kg/m³, pour les deux spectres d'émission retenus. La brisure des droites pour la masse surfacique de 150 kg/m³ est due it la corrélation implicite qui existe entre la masse et la rigidité d'une paroi, dans l'état actuel des techniques de construction.

Au-dessus d'une masse surfacique de 150 kg/m². l'indice R croît à raison de 12 dB (A) par. doublement de masse. En dessous de cette valeur la croissance est de 5 dB (A) par doublement lorsque l'indice R est calculé vis-à-vis d'un bruit rose et de 4 dB (A) vis-à-vis d'un bruit de trasic.

Ces lois sont expérimentales. Il est intéressant de montrer à la fois comment elles ont été obtenues et quelle précision on peut en attendre.

La figure 2 montre la loi de masse et les points expérimentaux (142) pour un spectre de bruit rose. Si on examine la validité de cette loi pour les parois homogènes seules, soit 60, on remarque que la moyenne de la dissérence R réel - R loi est de 0,4 dB (A) et l'écart type de 2 dB (A). Pour l'ensemble des points, excepté les quatre points identissés par un astérisque, la moyenne de cette dissérence est également de 0,4 dB (A) et l'écart type est alors de 2,2 dB (A).



ANNEXE TECHNIQUE:

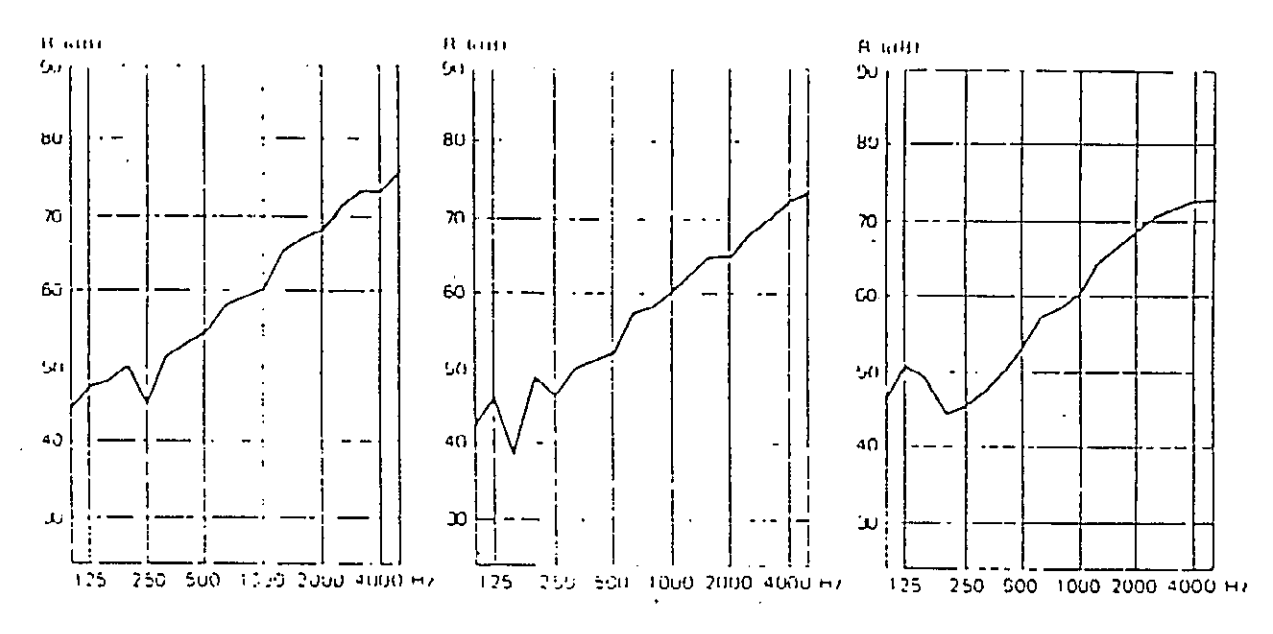
В

MURS ETDOUBLAGE

=-=-

V.4.n. MURS ET DOUBLAGES

On présente le comportement de 9 murs simples, en béton normal, cellulaire ou d'agrégats légers, en briques creuses et pleines et en parpaings de ciment creux et pleins. Les illustrations correspondant aux doublages ne concernent que des solutions capables de séparer deux logements, en respectant la réglementation.



- a) Alur homogène en beton

 R_{1,14} = 5% dB (A)

 Masse surfacique 3% kg/m²

 Epuisseur (160) mm

 Composition (beton de 160 mm
- b) Mur de béton d'agrégats légers

 R_{iste} = 57 2B (A)

 Masse surfaceque : 330 kg/m²

 Epuisseur 205 mm

 Composition, beton d'argile

 exprince coule de 200 nm,

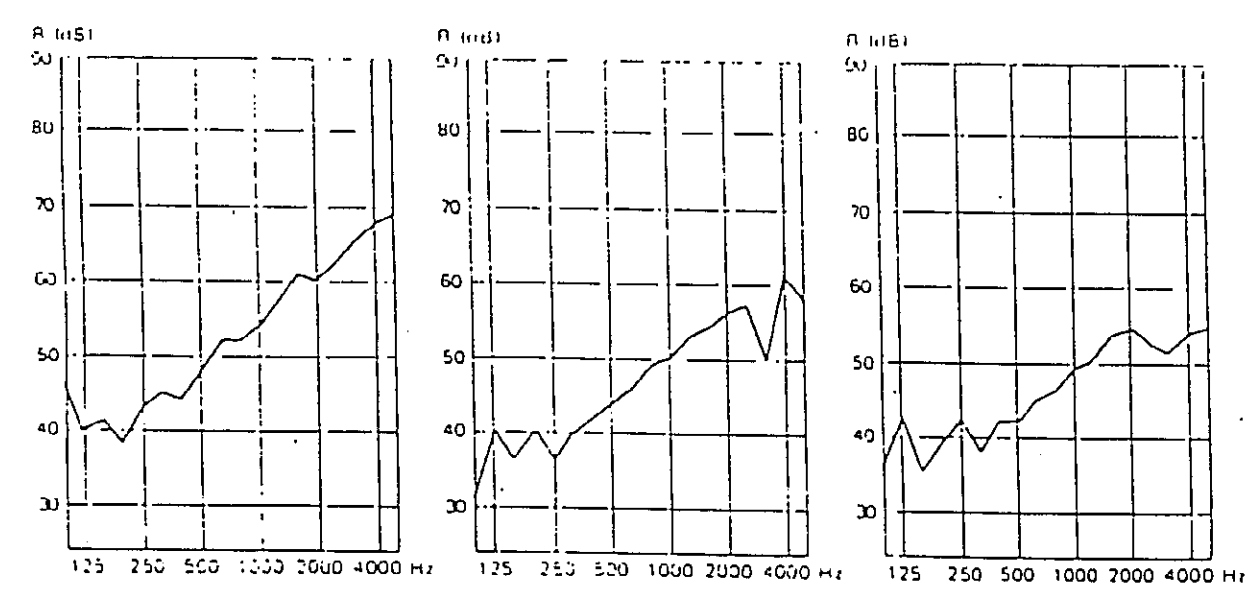
 enduit plate une face
- c) Mur de briques pleines

 Prose = 57 dN (A)

 Marce surfacique: 480 kg/m²

 Epaisseu: 250 mm

 Composition: briques pleines
 de 220 mm, enduites plaire
 deux faces



- d) Mur de parpaings pleins

 R_{sec} = 32 dH (A)

 Masse surfacique 290 kg/m³

 Equisseur 135 mm

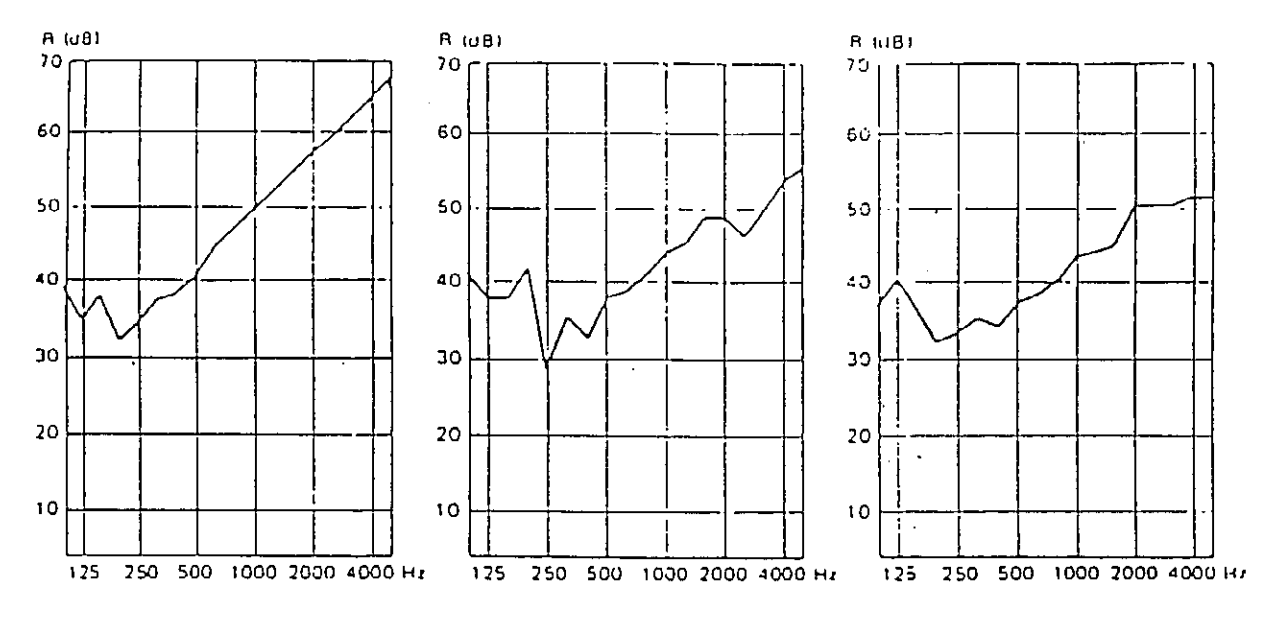
 Composition: parpaings pleins
 de 125 mm, enduit plâtre
 une face
- e) Mur de parpaings creux d'agregats legers R_{tour} = 45 dlf (A) Masse suifacique : 230 kg/m² Epaisseur | 168 mm Composition : blocs creux de béton de lattier expansé, monté au mortier et enduits plaire deux faces
- (1) Mur de héton cellulaire

 R_{ose} = 47 dh (A)

 Masse surfacique : 200 kg/m²

 Epaisseur : 260 mm

 Composition : blocs de béton
 pleins de 250 mm, montés au
 newtier-colle et enduits platre
 deux faces



- g) Mur homogène en béton R₁₈₈₆ = 45 dB (A) Musse surfacique : 200 kg·m² Figursear : 80 nim Composition : beton de 80 mm.
- h) Mur de purpaings creux

 Rione = 42 dH (A)

 Masse surfacique | 150 kg m²

 Epaisseur | 110 mm

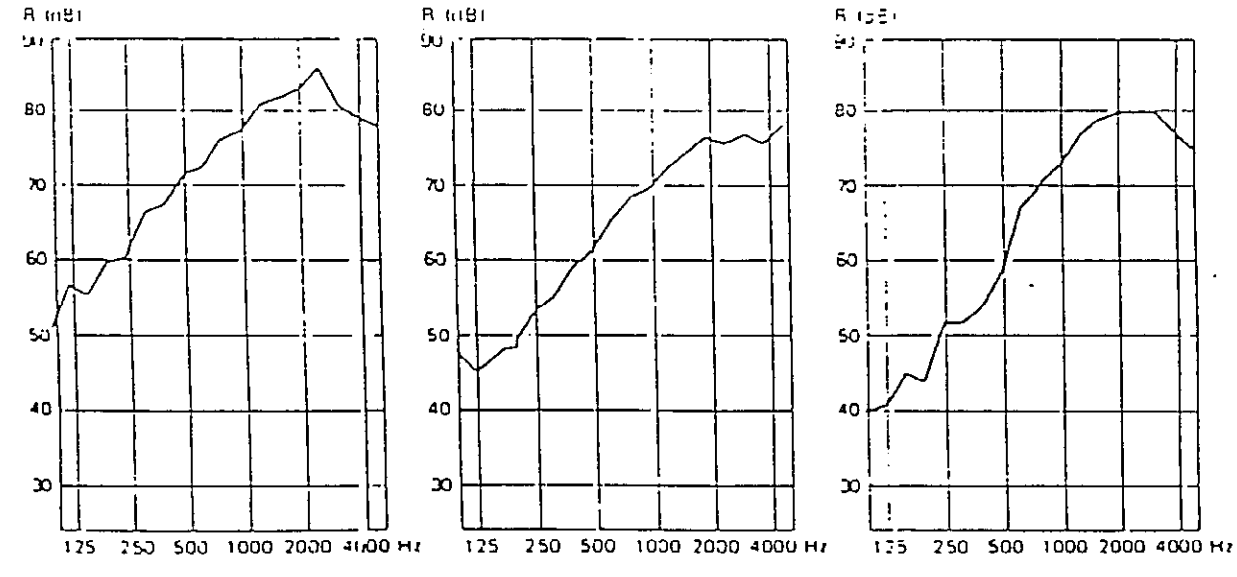
 Composition | purpaings creux de 100 mm, endait une face
- i) Mur de briques creuses

 R_{take} = 42 dB (A)

 Misse surfacique: 200 kg/m²

 F passeur: 170 mm

 Composition: briques creuses
 de 150 mm, enduites plâtre
 deux faces.



- j) Mur lourd avec un doublage
 R. = 71 dB 1A1
 Masse sufficiale 1 460 kg/m²
 Envisseur 270 mm
 Composition : parpaings pleins
 de 200 mm, enduits ciment deux
 faces et doubles d'un côté par
 une épaisseur de fibre minérale
 de 40 mm plus deux plaques de
 plâtre cartonnées de 10 mm,
 separées par un voile de verre
 de 3 mm.
- k) Mur de parpains pleins, avec un doublage

 R_{rete} = 63 dH fA1

 Masse surfactance
 230 kg/m² parca
 12 kg/m² that tige

 Epaisseur; 195 mm

 Composition parpains pleins de
 125 mm, enduits plâtre une face
 et doublés de l'autre côte par une
 épaisseur de falue minerale de
 581 mm et d'une plaque de plâtre
 eartonnee de 10 mm
- Mur de parpaings creux, avec un doublage

 Resu = 59 JU (A)

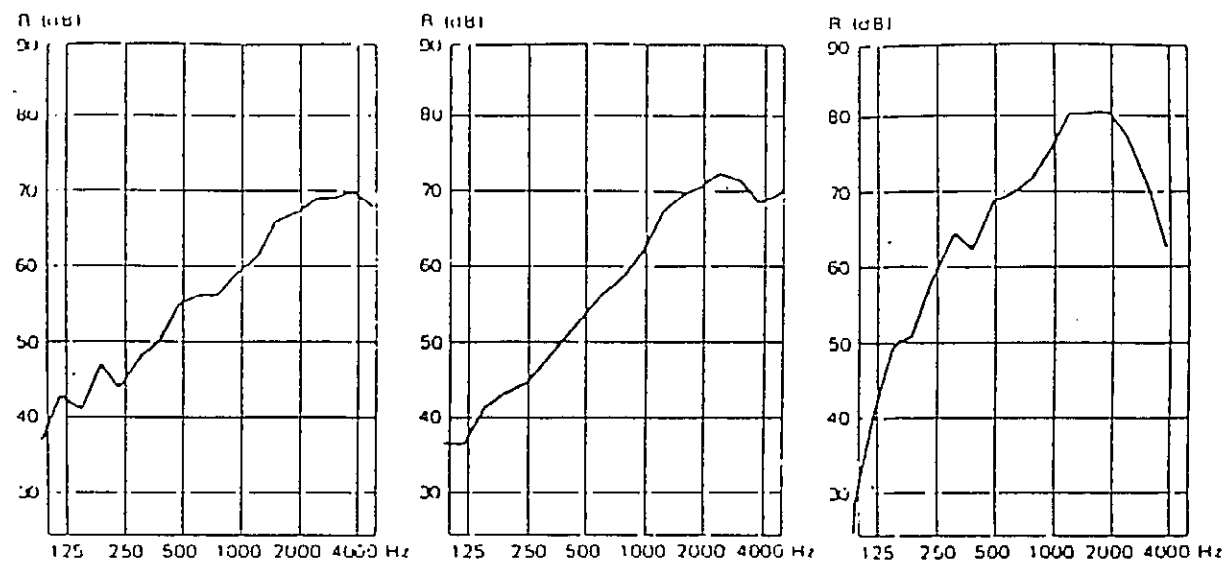
 Masse surfacture:

 155 kgm² paisit

 16 kg m² thoublage

 Envisseur 150 mm

 Composition parpaings creux de 160 mm, enduits platre une face et doubles d'une épaisseur de fibre minérale de 30 mm plus une plaque de platre cartonnée de 10 mm.



- m) Mur de briques creuses, avec un doublage

 R_{tok} = 56 dB (A)

 Masse surfacique:

 115 kg/m² paism

 13 kg/m² doublage

 Epaisseur: 190 mm

 Composition: briques creuses ac
 100 mm, enduites platte une face
 et doublées par une épaisseur de
 lidire minérale de 70 mm plus une
 pluque de platte carronnée de
 10 mm
- n) Mur de carreaux de plâtre, avec un doublage

 R_{tore} = 55 dB (A)

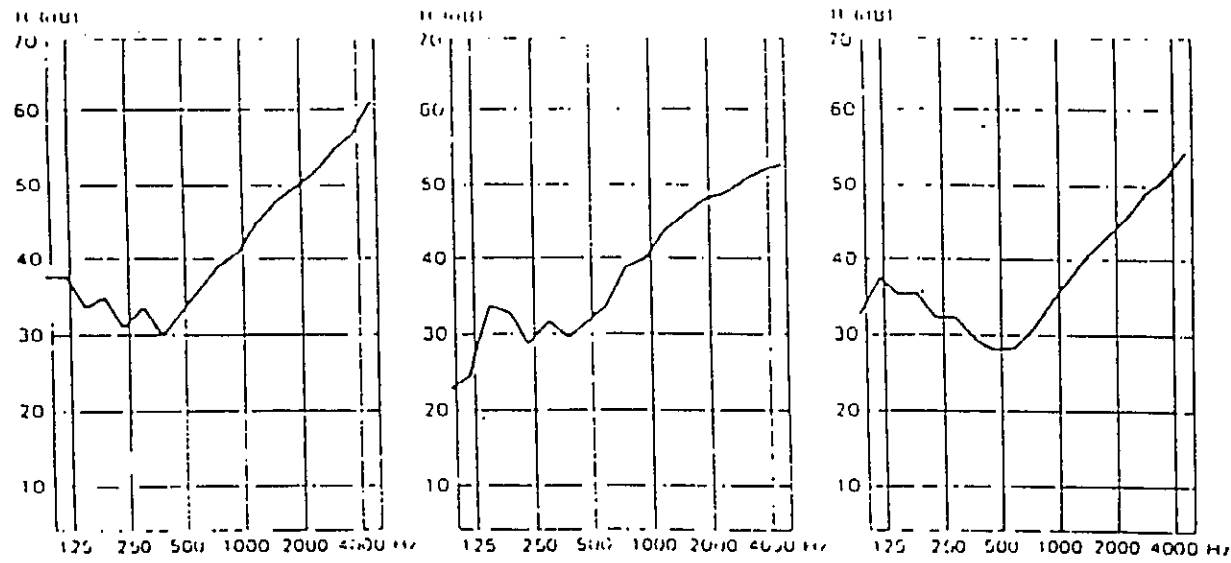
 Masse surfacique;
 100 kg/m² paren
 13 kg/m² deriblage

 Epaisseur: 180 mm

 Composition, carreaux de plâtre
 de 100 mm doubles par une épuisseur de fibre minérale de 70 mm
 plus une plaque de plâtre curtonnee de 10 mm
- o) Mur de carreaux de plâtre, avec deux doublages
 R₁₀₁₀ = 55 dB (A)
 Masse surfacique:
 42 kg/m² parou
 24 kg/m² doublage
 Epaisseur: 170 mm
 Composition: carreaux de plâtre de
 St nim doublés d'un enté par une epaisseur de libre minérale de
 70 mm plus une plaque de plâtre carronnée de 10 mm, de l'autre caté par une epaisseur de fibre minérale de
 10 num plus une plaque de plâtre carronnée de 10 mm, de l'autre caté par une epaisseur de fibre minérale de 10 mm, de l'autre caté par une plaque de plâtre carronnée de 10 mm.

V.4.b. LES CLOISONS

On trouvera ici les cloisons classiques prévues pour séparer des pièces à l'intérieur d'un même logement, par exemple. Teutefois, la majorité des exemples concernent des doubles cloisons constituées d'éléments légers et préfabriqués qui permettent l'obtention de résultats remarquables, tels que un indice R de 70 dB (A) pour une masse surfacique de 70 kg/m².



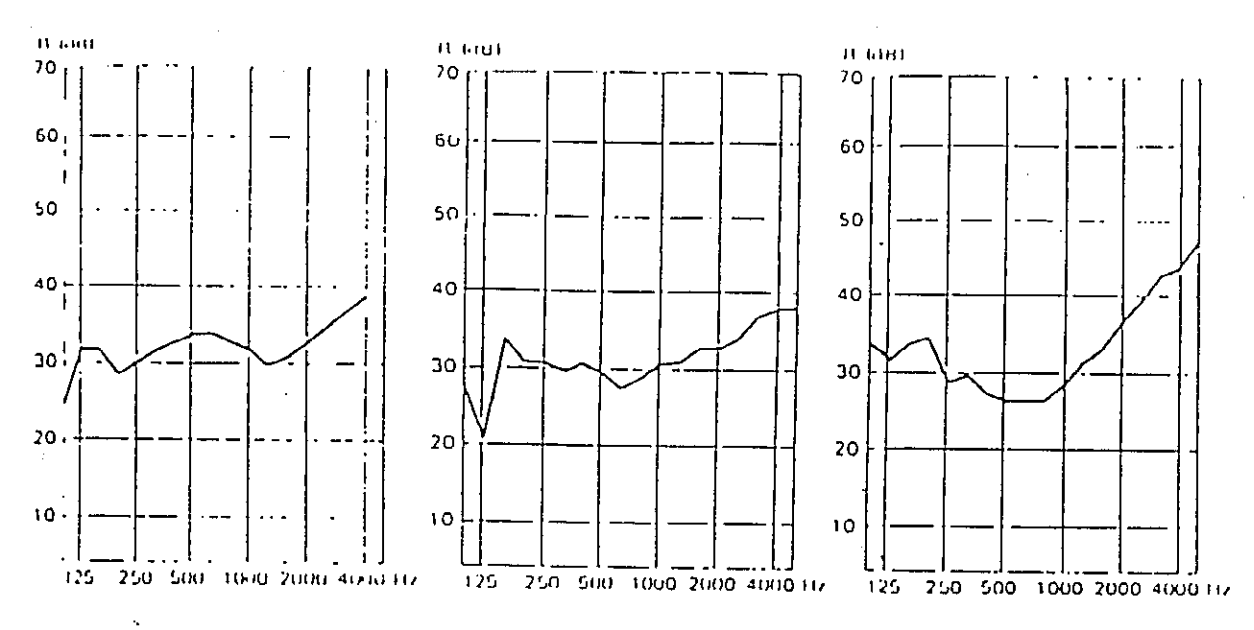
- a) Cloison de carreaux de pláire R₁₂₄ = 39 dB (A) ktasse surfacique : 110 kg/m² Epaisseur : 100 mm Compusition , carreaux de plátre pleins
- b) Cloison de beton cellulaire

 R_{Jou} = 37 dB (A)

 Masse surfacique: 100 kg/m²

 Epaisseur: 110 mm

 Composition: beton cellulaire de
 lixt mm, enduit plaire deux faces.
- c) Cloison de carreaux de plâtre
 R_{rose} = 35 dB (A)
 Masse surfacique : 65 kg/m²
 Epaisseur : 60 mm
 Composition : carreaux de plâtre
 pleins .



- d) Cloison de particules de hois

 R_{yak} = 12 dB (A)

 Masse surfacique: 35 kg/m²

 Epaisseur: 50 mm

 Composition: panneau de
 particules de buis de 40 mm,
 maintenu par deux parements
 minéraux de 5 mm
- e) Cloison de briques

 R_{rose} = 31 dH (A)

 Masse surfacique : 60 kg/m²

 Epaisseur : 70 mm

 Composition : briques platrières
 de 50 mm, enduites plaire deux
 faces
- Cloison en carreaux de plâtre creux

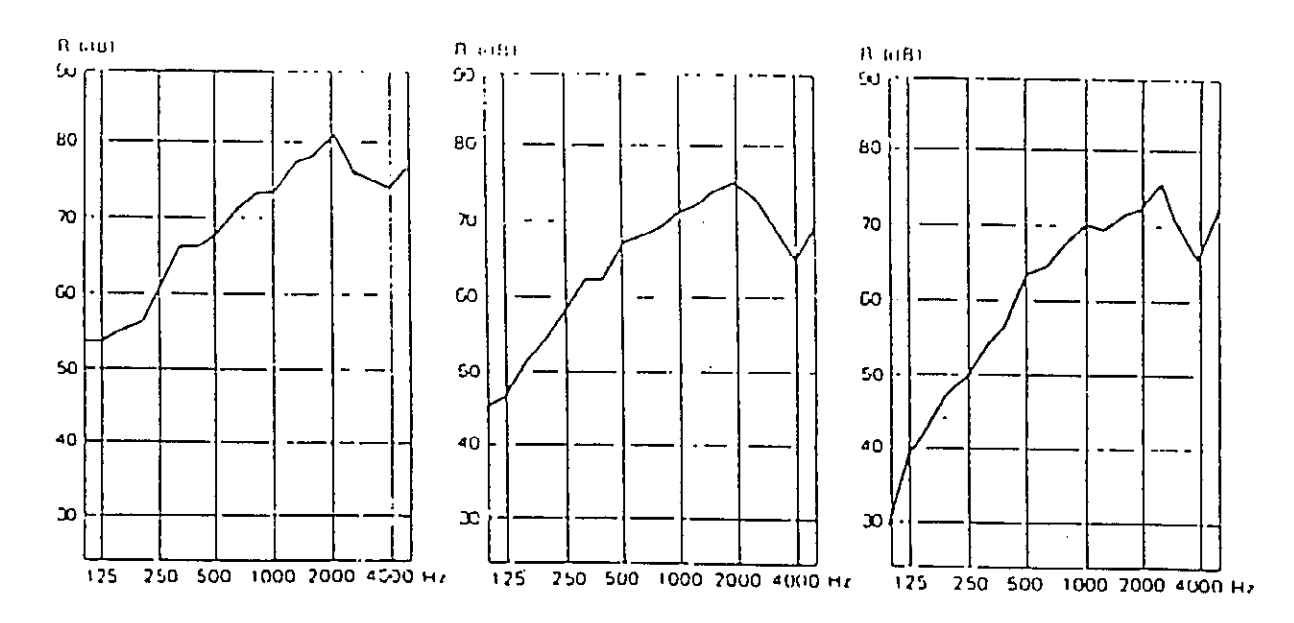
 R_{rose} = 31 dB (A)

 Masse surfacique: 60 kg/m²

 Eparsseur: 60 mm

 Composition: panneaux de plâtre
 hanteur d'étage de 60 mm à

 Ubulures verticales de 30 mm de
 diamètre.



- g) Double cloison en plaques de plâtre

 R_{par} = 70 dB (A)

 Masse surfacique: 70 kg/m²

 Eparsseur: 300 mm

 Composition: trois plaques de plâtre de 15 mm, un espace d'air amorts de 213 mm, trois plaques de plâtre de 10 mm, double ossature métallique.
- h) Double cloison en plaques de plâtre

 R_{cott} = 65 dB (A)

 Masse surfacique: 60 kg/m²

 Epaisseur: 160 mm

 Composition: trois plaques de plâtre cartonnées de 10 mm, fibre minérale de 100 mm, strois plaques de plâtre cartonnées de 10 mm, osquire métallique.
- i) Double cloison en plaques d'amionte-ciment

 R_{tore} = 56 dB (A)

 Masse surfacique : 30 kg/m²

 Ephisseur : 200 mm

 Composition : deux plaques d'aniunte-ciment de 5 mm

 espacées par une lame d'air amortic de 190 mm ossature métallique.

1/ -

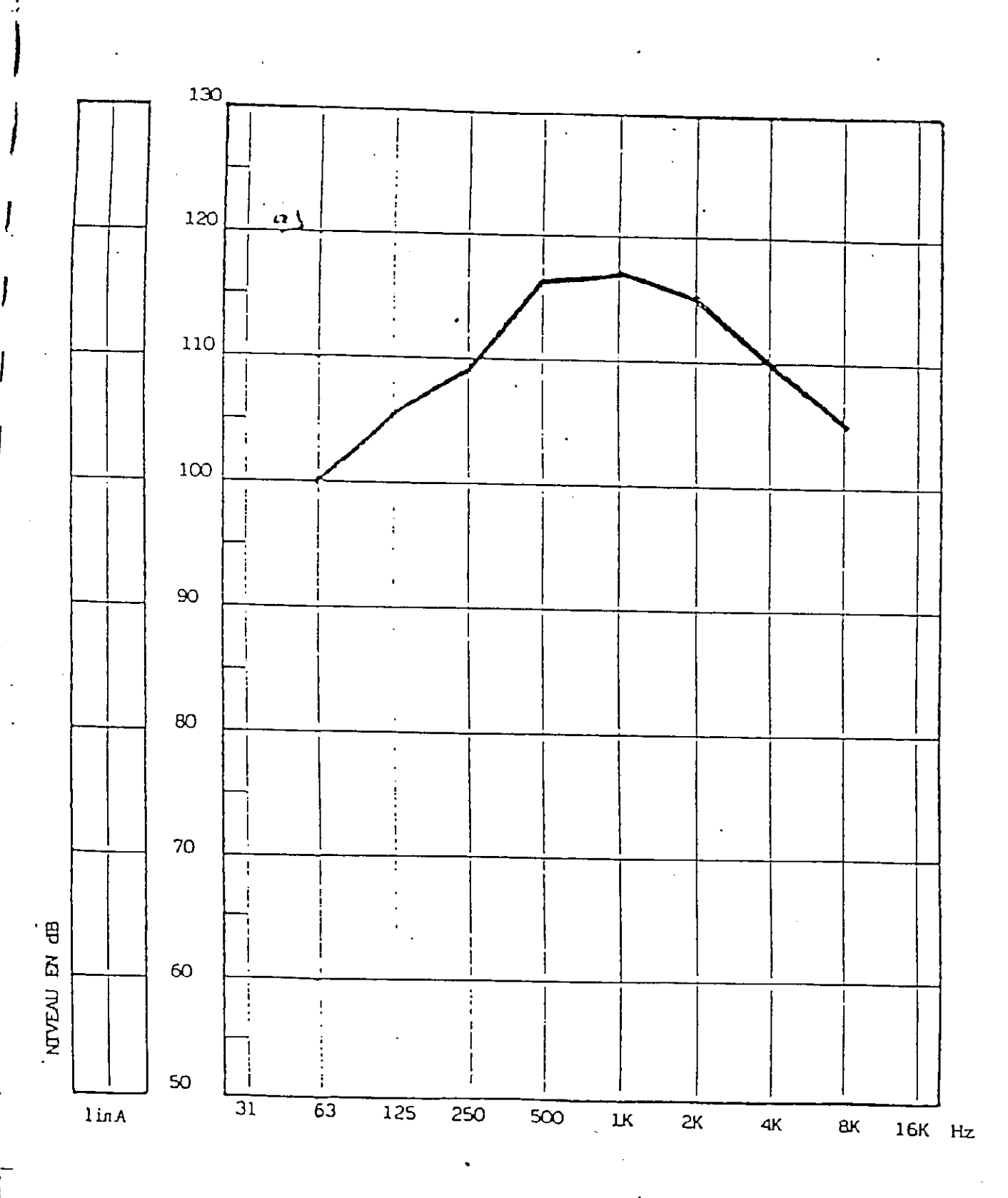
ANNEXE TECHNIQUE:

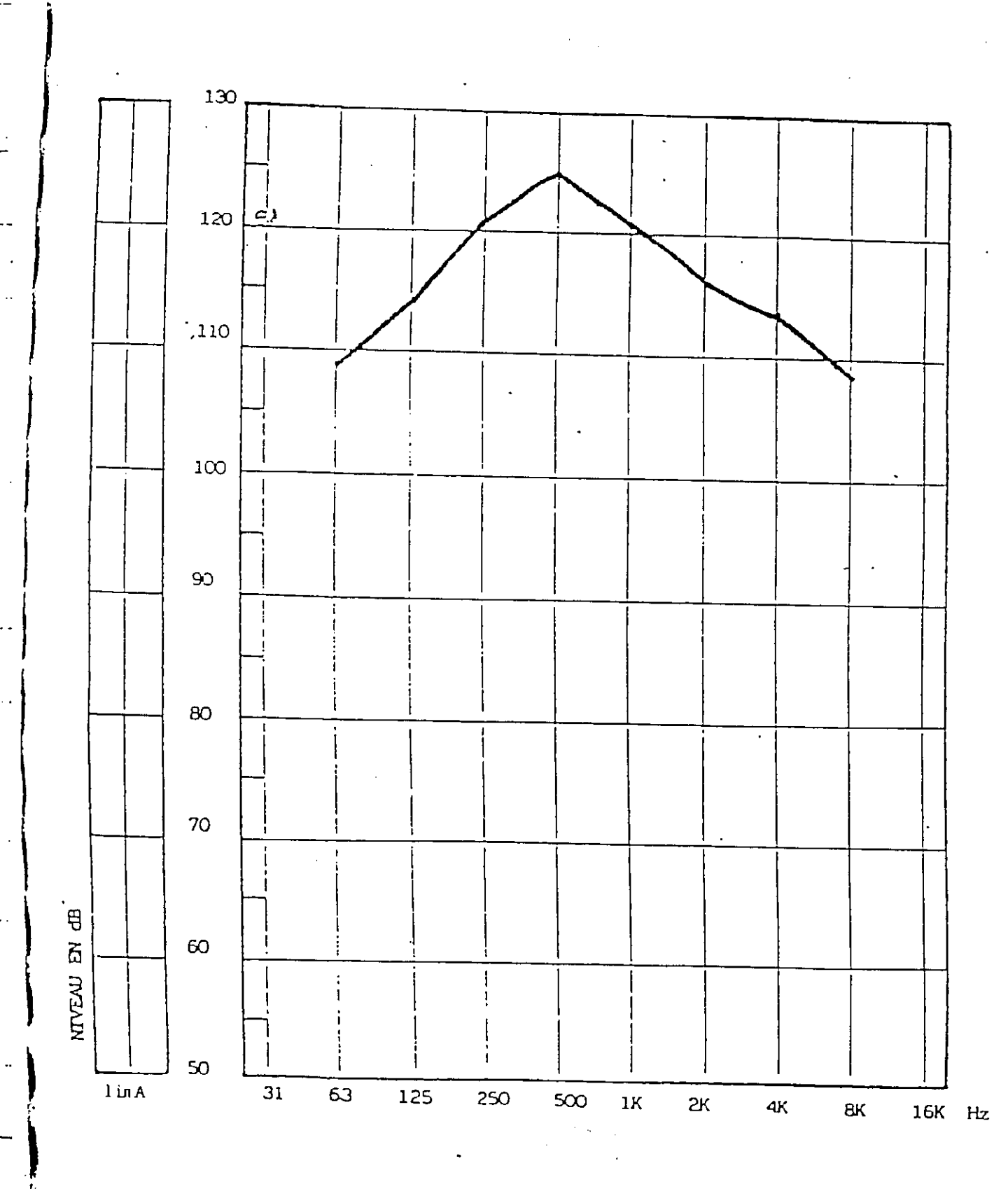
C

NIVEAUX SONORES ET COEFFICIENTS

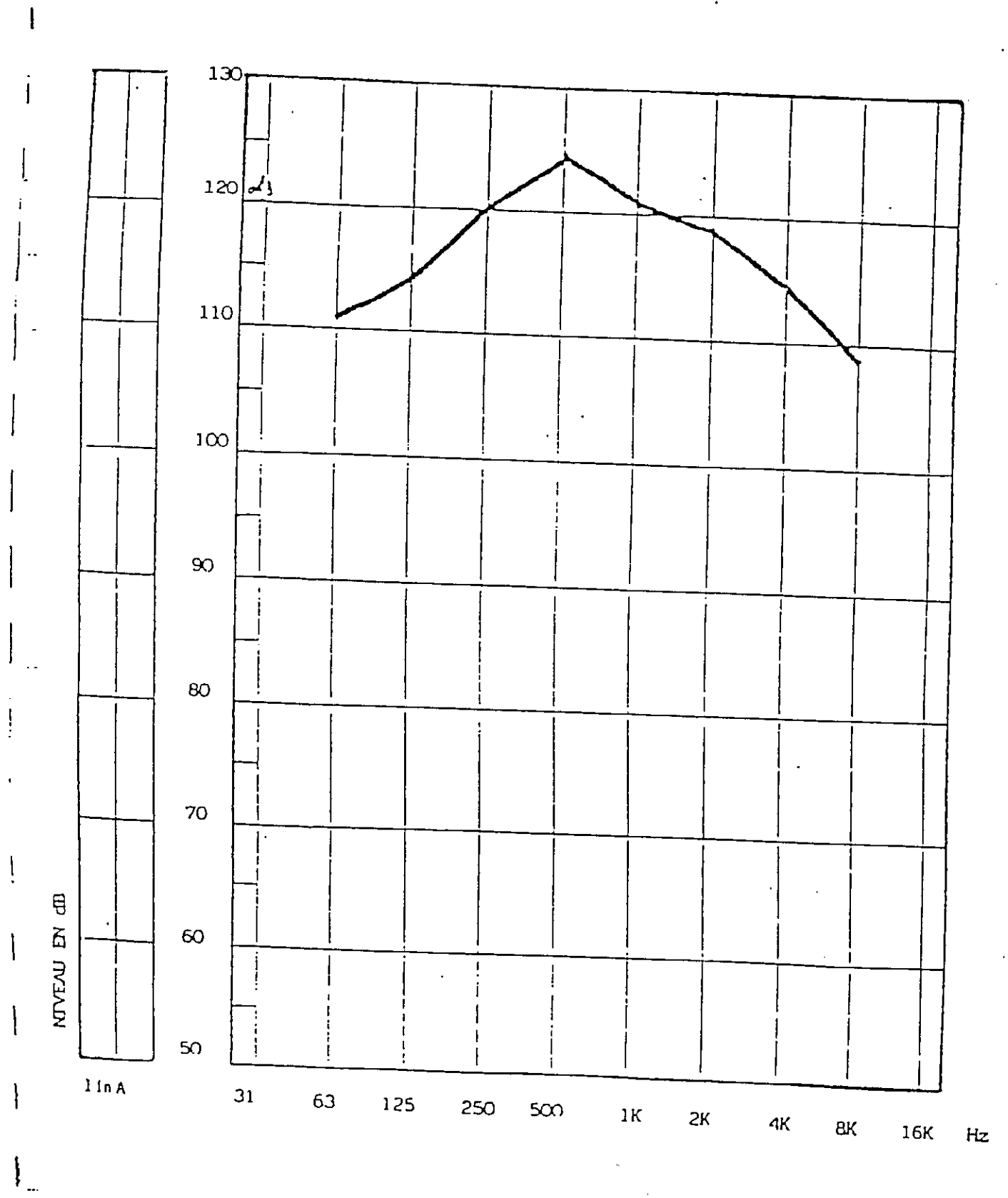
-=-=-

Pistolet automatique unic munitions 7.65 GEVELOT

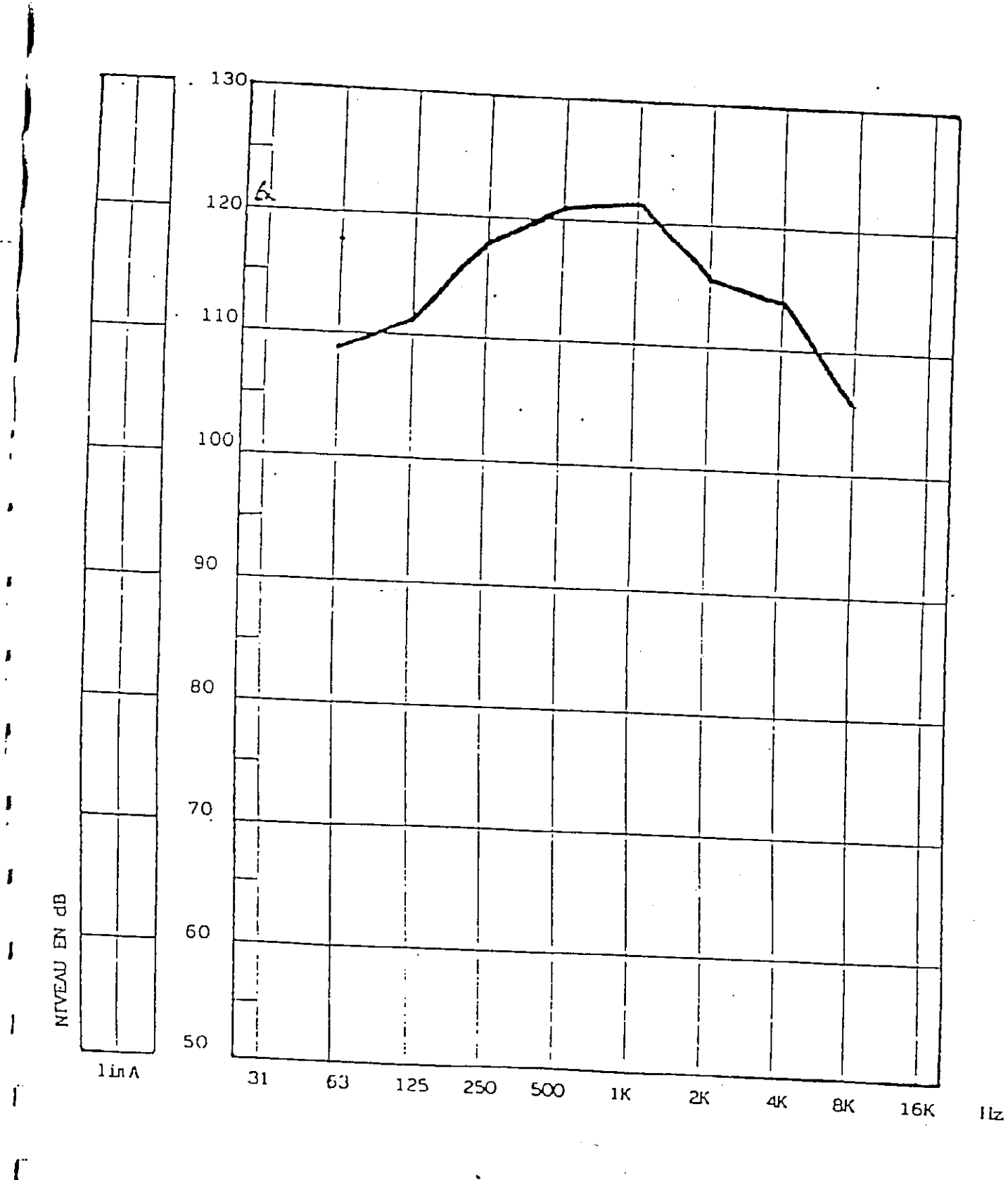




MR en 357 Magnum Revolvez.



Pishelet automatique MAC 50



ANNEXE TECHNIQUE:

 \mathbb{D}

OBJET: ABSORPTION DES ONDES ACOUSTIQUES

-Ü-Ü-Ü-

Absorption par les matériaux de construction

Pour diminuer le temps de réverbération et par là abaisser légèrement les niveaux de bruit dans le bâtiment, il faut disposer de matériaux qui absorbent les sons venant les frapper. Les spécialistes de l'acoustique établissent des projets de traitement (de salles comme les studios d'enregistrement ou de radiociflusion) qui doivent permettre d'amener le temps de réverbération à sa valeur optimale. Pour ce faire, ils ont à leur disposition une gamme de matériaux absorbant les sons de diverses fréquences.

Dans les habitations, le mobilier, les tapis, les rideaux, les tentures jouent en partie le rôle de matériaux absorbants et, en général, il est inutile de prévoir, en supplément, des matériaux spécialement mis pour absorption. Par contre, dans les bureaux, les couloirs, les salles de classe, etc. la nature ou l'absence du mobilier font que la surface d'absorption équivalente de ces locaux est faible et par suite la réver-

bération grande. Le traitement de ces locaux est souvent utile.

Les principes d'action des matériaux spécialement utilisés pour l'absorption sont les suivants :

Matériaux poreux

Si une onde acoustique frappe la surface d'un matériau très poreux, elle est peu réfléchie, elle pénètre presque intégralement dans le matériau. Au cours de sa propagation au sein du matériau, elle peid de l'énergie par suite des frottements inévitables des particules d'air en mouvement contre le matériau. Si le matériau est accolé à une paroi réfléchissante, l'onde, apiès avoir traversé le matériau, est réfléchie et ressort après une nouvelle traversée en sens inverse (fig. 11).

Pour qu'un matériau poteux soit bien utilisé, il y a un compromis à trauver entre son épaisseur d'utilisation et sa porosité. Plus il est poreux et plus il doit être utilisé en forte épaisseur, sinon l'onde ne perd pratiquement pas d'énergie au cours de sa traversée.

D'une manière générale, le coefficient d'absorption d'un matériau poreux croît avec la fréquence. Il est nul aux fréquences basses. et voisin de 1 (pour les bons matériaux) aux fréquences aigues. L'allure générale de la variation ainsi que l'influence de l'épaisseur d'utilisation sont données sur la figure 12. En général, le coefficient d'absorption du matériau n'est pas le même suivant que ce matériau est placé contre une paroi ou à une certaine distance de celle-ci. La disposition contre la paroi est la plus délavorable puisque, contre cette paroi la vitesse des particules d'air. pour des ondes d'incidence normale, est nulle et, par suite, la perte d'energie est nulle aussi. Des matériaux absorbants poreux sont par exemple les panneaux de laine de verre ou de roche, les panneaux de ficies végétales. les panneaux de plâtre fissuré.

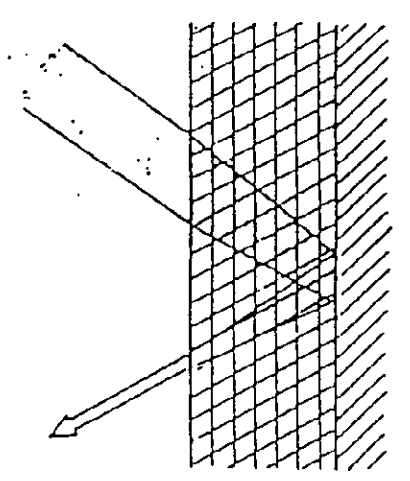


Figure 11

Matériau absorbant poreux placé contre une paroi.

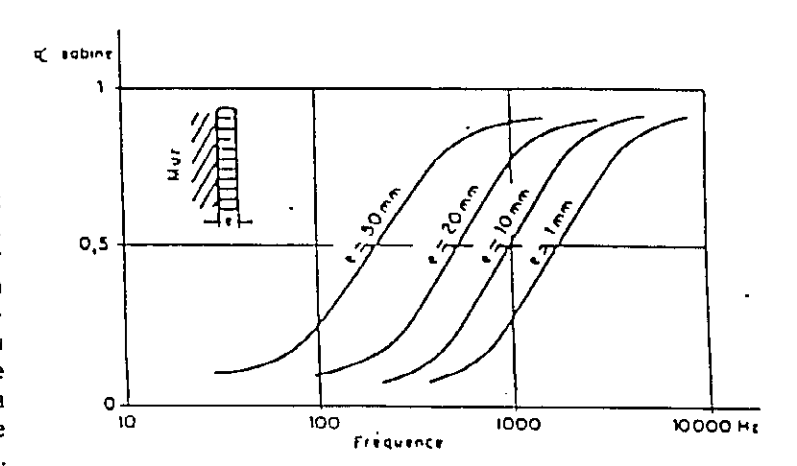


Figure 12

Exemple de variation du coefficient d'absorption d'un matérial porcus placé contra une paroi, en fonction de la fréquence, pour des épaisseurs diverses.

Résonateurs de Helmholiz

Un récipient fermé du volume V ne communiquant avec l'extérieur que par une ouverture relativement étroite constitue un résonateur de Helmholtz. Le comportement d'un tel résonateur peut facilement être expliqué si la liaison avec l'extérieur se fait par un tube fin et assez long (fig. 13).

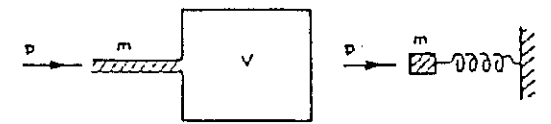


Figure 13

Résonateur de Helmholtz et dispositif mécanique équivalent.

Lorsqu'il existe une pression acoustique p agissant sur l'entrée du résonateur la masse m de l'air contenu dans le tube a tendance à se déplacer sous l'action de cette pression. L'air contenu dans le volume V oppose une force à ce déplacement et se comporte comme un ressort. L'ensemble est donc équivalent à une masse m attachée à un point fixe par l'intermédiaire d'un ressort de rigidité k. On peut facilement montrer qu'un tel ensemble présente une fréquence de résonance f donnée par :

$$\ell_{o} = \frac{1}{2\pi} \sqrt{\frac{k}{m}}.$$

La pression ρ agissant sur le résonateur communique donc à l'air contenu dans le tube une vitesse d'autant plus grande que la fréquence du son appliqué est plus voisin de f_0 .

Le déplacement de l'air dans le tube est forcément accompagné d'un dégagement de chaleur sur la face interne du tube par suite du frottement. Ce dégagement de chaleur est d'autant plus grand que la vitesse de l'air est plus importante. Le système se comporte donc comme un dispositif absorbant une partie de l'énergie acoustique incidente sur l'ouverture.

Les résonateurs de Helmholtz que l'on utilise sont en fait constitués par des plaques (en plâtre ou métal) perforées que l'on place à une certaine distance des murs ou plafonds de manière qu'elles emprisonnent entre elles et les murs un certain volume d'air qui n'est en communication avec l'extérieur que par les trous. Ces ensembles se comportent comme un grand nombre de résonateurs qui seraient placés les uns à côté des autres, chaque trou recrésentant l'ouverture d'un résonateur (fig. 14).

2423

L'absorption de tels dispositifs étant sélective, la courbe donnant le coefficient d'absorption « en fonction de la fréquence à l'allure présentée sur la figure 15. En général, on installe un matériau poreux absorbant (laine minérale) entre les plaques et le plafond (ou le mur). La présence de ce matériau diminue la sélectivité, qui en général ne présente pas d'intérêt particulier.

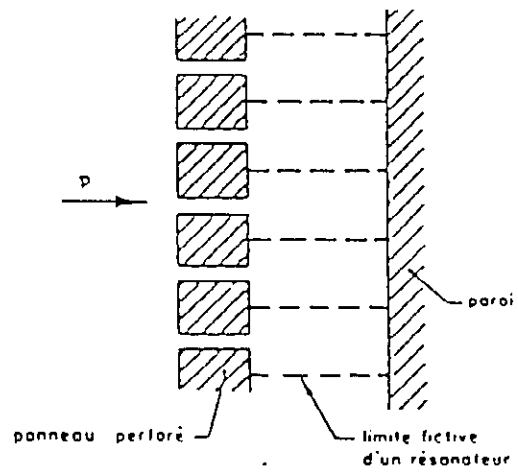


Figure 14

Un panneau perloré placé devant une paroi est équivalent à un ensemble de résonateurs de Helmholtz.

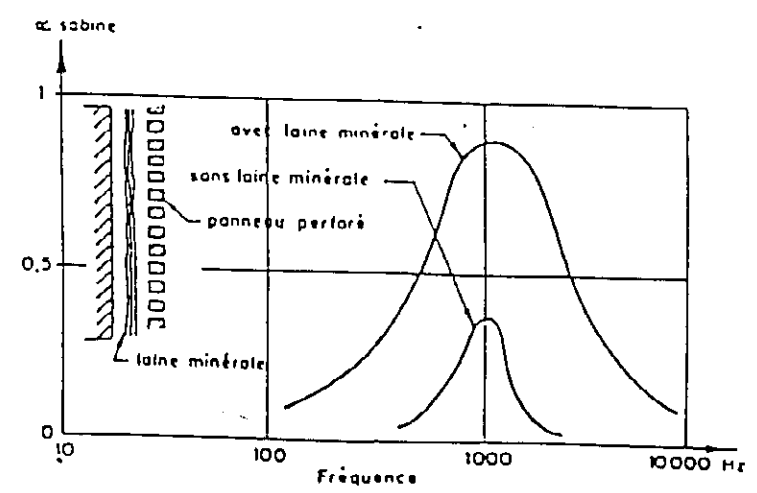


Figure 15 -ient d'absorption de pan-

Coefficient d'absorption de panneaux perforés.

Facteurs d'absorption de matériaux classiques

Wel Accounting of Architecture, R. Lamor I ober Masson Editour, 1975

Facteur d'absorption aux Iréquences el-dessous						
125	250	500	1 000	2 000	4 000	
0,27	0,62	88.0	ngi	0,81	0.76	
0.13	0,13	0,24	0,70	0,77	0,68	
0,14	U.19	0,31	28.0	0,81	0,72	
0,15	0,44	0,45	0,44	0,53	0.59	
0.05	0,18	0.61	20.0	0,39	0.30	
0.10	0,19	0.42	0.74	0,57	0,34	
0.26	0,33	0.56	0,79	0,65	0,45	
0,61	0.75	0,73	0.70	0.76	0,67	
0.38	0,64	0.68	0.61	0.69	0,53	
	0.27 0.13 0.14 0.15 0.05 0.10 0.26 0.61	125 250 0.27 0.62 0.13 0.13 0.14 0.19 0.15 0.44 0.05 0.18 0.10 0.19 0.26 0.33 0.61 0.75	0.27	125 250 500 1 000 0.27 0.62 0.88 0.93 0.13 0.13 0.24 0.70 0.14 0.19 0.31 0.62 0.15 0.44 0.45 0.44 0.05 0.18 0.61 0.63 0.10 0.19 0.42 0.74 0.26 0.33 0.56 0.79 0.61 0.75 0.73 0.70	125 250 500 1 000 2 000 0,27 0,62 0,88 0.93 0,81 0,13 0,13 0,24 0,70 0,77 0,14 0,19 0,31 0,62 0,81 0,15 0,44 0,45 0,44 0,53 0,05 0,18 0.61 0.69 0,39 0,10 0,19 0,42 0,74 0,57 0,26 0,33 0,56 0,79 0,65 0,61 0,75 0,73 0,70 0,76	

Type du matériau	 	Facteu	r d'absorp	despour	Iréquences	
	125	250	500	1 000	2 000	4 000
Bois verni	0.05	0,04	0,03	0.03	0.03	0.01
Chaux sur lattis bois	0.03	0,03	0.03	0,04	1	0.03
Crépi	0,01	0,03	0,04	· ·	0.05	0.05
Marbre	10,0	0,01	10.0	0,04	0.08	0.17
Platre	0,04	0,03	0.01	0,01	0.01	0,01
Briques peintes	0,01	0,01	0,02	0.02	0,05	0.08
Briques brules	0,02	0,02	0,03	0,04	0.02	0.02
Vitre	0,03	0.03	0,03	0,02	0,05	0.07
Crin de jute	0,05	0,07	0,18	0.65	0.02	0.02
Linoléum	0,03	0.03	0.03	0,04		0,71
Linoléum sur isorel	0.04	0,06	0.03	0,12	0,04	0,04
Parquet	0,03	0,04	0.08	0.12	0.04	0,04
Tapis caoutchouc 6,5 mm	0,04	0.04	0,08	0.12	0,12	0,17
Tapis liège 20 mm ciré et poli	0.04	0,03	0.05	0,12	0,10	0.10
Tapis liège brut 20 mm	0,04	0,03	0.08	0,18	0.07	0,02
Tapis moquette sur thibaude	0.14	0.32	0.03	0,18	0,21	0,22
Flockage rayonne mince	0.04	0,04	0.05	0,43	0.40	0,35
Flockage rayonne moyen 5 mm	0.07	0,15	0.13	0.23	0.12	0,11
Flockage rayonne épais 8.9 mm	0.20	0.36	0,49	0.19	0.25	0,35
Linex 230 en 40 mm	0,25	0.38	0.42	0.38	0,53	0.60
Linex 250 en 22 mm	0,02	0.05	0,03	0.58	0.44	0,50
Projection de vermiculite 15 mm non peinte	0,20	0,15	0,18	0,26	0,06	0,10
- idem - avec peinture cascine très			, ,,,,	0,20	0,40	0,62
minee Polyvinyle perforé sur Sem de laine de verre	0,20	0,13	0.15	0.20	0.32	0.50
	0,16	0.36	0,76	0.90	08,0	0.77
- idem - avec 1 cm de laine de verre	0.04	0.08	0,25	0.56	0.73	0.65
Surface occupée par des spectateurs assis	0,60	0.74	0,88	0.96		
Surface occupée par des sièges de simili zur (remboximage épais)	0,44	0,54	0,60	0,62	0.93	0.85
Peau de Klegecell, trous de 2 mm tous les 20 mm à 1 cm du mur avec laine de			(,,,,,,	11,01	0.58	0,50
verre, éléments 40 x 40 cm Draperie coton contre mur	0,19	0.24	0.85	0,82	0,82	0.54
Draperie coton plis serrés	0,04	0,05	0.11	0.18	0.30	0,44
Tissu amiante à 20 cm du mur	0,10	0,38	0,50	0.85	0,82	0,67
Feutre 12 mm flottant	0.15	0.20	0.30	0.30	0.33	0,35
Velours à 10 cm du mur	0,17	0,24	0.35	0,50	0,65	0,65
	0,09	0.36	0.45	0.52	0,50	0,44
Velours à 20 cm du mur	0.12	0,36	0.45	0,52	0.50	0,44
Aggloméré de liège	0,15	0.26	0.22	0,22	0,20	0,20
Amiante projetée 25 mm	0.20	0.55	0.58	0.59	0.59	0.59
Contreplaqué 5 mm à 25 mm du mur	0.07	0,12	0,28	0.11	0,0R	0,08
Contreplaqué 5 mm à 50 mm du mur Feutre 25 mm collé	0,47	0,34	0.30	0.11	80.0	0.08
	0,12	0.25	0.49	0.63	0.65	0,60
Laine minérale 40 mm agglomérée	0.30	0.70	88,0	0.85	0,65	0.60
- idem - recouverte papier kraft	0.74	0,54	0.36	0.32	0.30	0,17

;

Type de matériau		Factour	d'absorpti clodes	on our Iré	quences	
	125	250	500	1 000	2 000	4.1000
Laine de verre 25 mm	0.15	0.38	0,60	0,64	0,62	0,62
- idem - sur treillage métallique flottant		0.45	0.45	0,50	0.52	0,52
Laine de verre 50 mm recouverte de toile poreuse	0.39	0.45				
Laine de lin		i '	0.56	0,59	0,61	0,55
Moleskine tendue	0.09	0,18	0.48	0,73	0.50	0,33
3 couches de toile cirée à 30 mm d'inter-	0.51	0,57	0,48	0.35	0,28	0,20
valle	0,33	0,48	0.20			
Acousticelote 12 mm	0.22	0.28	0,26	0,14	0.08	0.11
Heraclith à 8 cm du mur (25 mm)	0.22	0.61	0.47	0.53	0,62	0,62
Isorel mou 12 mm		1	16.0	0,64	0,63	0,77
Isorel dur en diaphragme à 50 mm du	0.06	11,0	0.33	0,40	0.40	0.43
mur	0.32	0.15	0,09	0,09		
Isover 25 mm	0.43	0.51	0,57	Ť	0,09	0.09
Laine de verre projetée 10 mm	0.06	0.09		0.62	0.65	0,67
Panneaux bakélisés de laine de verre	0,19	0.17	0.13	0.19	0,25	0.31
Surface occupée par des sièges de tissus	0,13	0,27	0.37	0,54	0.44	0.40
(rembourrage épais)	0.49	0,66	03.0	88.0	000	0.70
Peau de Klegecell non perforce à 8 cm		0,00	0,00	٥٥,٠٥	0.82	0.70
du mur avec laine de verre, éléments						
40 × 40 cm	0.59	0.68	0.33	0,35	0,27	0.22
Staff perforé commercial sur laine de						
verre	0.20	0.33	0,50	0,65	0,60	0.50
Spontex 10 mm	0.10	0,25	0.40	0.45	0.60	0,90
Punneaux agglomérés de lin en diaphrugme Stimmi du mur						
1	0.75	0.80	0,50	0,40	0.38	0.33
Laine de verre sous pegamoid perforé	0.12	0,27	0.49	0,70	0,70	03,0

ANNEXE IV

ETUDES EVALUATIVES ET COMPARATIVES

· :

.

. -

journée d'étude du GALF

" bruits impulsionnels "

Paris, 18 novembre 1971

problèmes actuels du bruit de tir

par J.R. HEDIGER**

1. - IMPORTANCE DU PROBLEME

En Suisse, le bruit du tir a une importance particulière due aux facteurs jivants :

al L'armée suisse est une armée de milice où tout citoyen astreint au serce militaire doit jusqu'à l'âge de l ans effectuer chaque année des urs obligatoires dans sa commune d'habitation. Avec son arme personille, un fusil d'assaut, il est tenu aptenir un certain nombre de points sur cible à 300 m au moyen de 24 cartouches. En plus s'ajoutent les tirs "ectués durant la periode de serte actif (école de recrue et cours de . "Déntion), et les tirs des sociétés sportives qui sont loin d'être néglichables, le tir étant un sport tres po-; taire, à tel point que chaque année ; lieu dans le canton de Zurich un concours pour les écoliers.

l titre d'exemple, dans la commune C. Kloten qui a une population de C. L. 1.000 habitants. 1.500 tireurs effectuent leurs tirs obligatoires militaires d'= mars a septembre durant 45 demij rnées. Ainsi, durant 25 samedis et C. dimanches environ, 35.000 cartouches ont été tirées. En plus, les miliraires en uniformes ont pour leur p. t. tiré 48.000 cartouches durant 50 c. ni-journées supplémentaires.

5) La densité de population est élev (235 habitants/km2) dans le canti de Zurich : elle a augmente du-

Manuscrie recu le 10 fevrier 1972, "Physicien dipidme, Uciencie es Science [ETH, EMPA Dubendorf, Zürich] rant les dix dernières années pour certaines communes du canton jusqu'à 500 %, ce qui ne va pas sans poser des proolèmes délicats, les zones d'habitation se rapprochant toujours plus des stancs de tir. En Suisse, on compte 2,456 stands de tir avec en tout 23,000 cibles à 300 m.

2. — ORIENTATION DES TRAVAUX DE RECHERCHES

Nos efforts ont porté avant tout sur les moyens de lutte contre le bruit produit par les armes à feu et tout particulièrement les armes personnelles, dans et aux environs des stands de tir.

2.1. Appareillage de mesure.

Pour l'étude de la variation de la pression acoustique en fonction du temps les oscillographes seront utilises, ils permettent également de lire la valeur maximum de cette pression. Il existe sur le marché des appareils ayant une sensibilité et une gamme de fréquence suffisante. Il est possible au moyen d'un second microphone convenablement placé de déclencher le balayage à l'instant voulu (Trigger microphone). D'autres instruments permettent la lecture directe de la pression sonore maximum (GR 1556 B avec une constante de temps de 50 gas et HP 8052 A avec une constante de temos de 100 jus).

Le principe de mesure était le sui-

Un congensateur est charge par l'intermediaire d'un amplificateur après redressement. L'erreur de lecture qui est fonction du temps de charge (tm) du condensateur peut être estimee à 100 x tm/ts. ts étant la durée de l'évenement sonore.

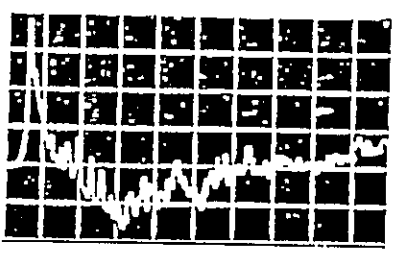
Les sonometres conventionnels sont prevus pour la mesure de la valeur sonore effective. La lecture de niveaux sonores variables est facilitée par les constantes de temos assez grandes de l'instrument de lecture (lent 15 - rapide 150-200 ms). Les nouveaux sonometres pour impulsions construits seion la norme allemande • DIN 45 523. feuille 2 - possedent une constante ce temos de 25 ms qui selon les dires des protagonistes correspond au temps necessaire à l'oreille pour établir l'impression sonore. De plus, ces appareils possedent un disposițif de mise en memoire ce qui permet la lecture des pointes sonores de tres courtes durees

Il est de première importance de contrôler lors des mesures qu'aucun des éléments du circuit de mesure ne soit surcharge afin d'éviter toute distorsion du signal superieure à 5%. Des essais comparatifs ont montré que les magnetonnones du type Nagra travaillant à pleine piste avec une vitesse de défilement de 38 cm/sec, sont utilisables pour l'enregistrement et la reproduction du bruit des tirs, ce qui permet d'éviter l'utilisation de l'oscillogragne sur le terrain.

2.2. Rappel.

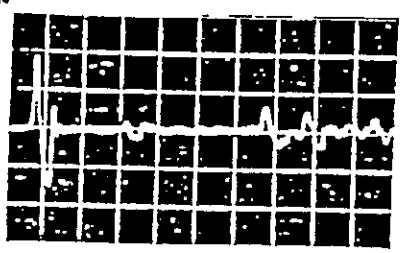
Les perturbations de pression dues aux armes à feu sont de 2 types. Le premier signal sonore est dû à l'augmentation raoide de la pression à la scrtie de la bouche a feu de l'arme, provoquee par l'expansion des gaz de la charge explosive. Le second signal

- 8 /cm/444



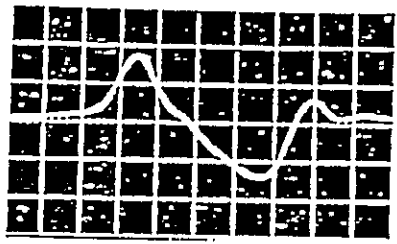
0,5 m 1/0 cress

0,5m8/carrese



0.5 m s/care and

0,5 m B/carreau



50 percent

Il Deplacement du projectile.

1) Mise a feu.

3) Detail de l'oscillogramme nº 2.

FIG. 1. — Variations de pression acoustique engandrees par un fusil d'assaut (accillogramme des pressions mezurees a 7 m lateralement).

est dù a la propagation a vitesse utitasonore du projectile dui provoque une onde de choc (onde palistique) ayant la forme typique d'un 14 erargi, de que montrent les psoulogrammes de la fioure !

La montee prusque de la pression suivie d'une periode de relaxation aderiodique ou invoeraberiodique est une caracteristique pour toutes petionations. Deux grandeurs fipiques sont, le niveau de pression maximum atteint plet la durée 1, jusqu'au premier passage à la pression normale. Les valeurs atteintes par les peux hypes de sources sonores pour un fusir plassaut à 7 m de distance sont respectivement 10 mp. 154 de. 1 = 0.5 ms et 3 mb. 2 144 de. 1 = 0.3 ms.

23. Définition du champ sonore,

La première demarche à effectuer lorsque l'on veut agir sur un champ sonore, est d'en connaître le caractère. Afin que les mesures acoustiques effectuees puissent être comparées, nous nous sommes efforces des que les nouveaux sonomètres pour mipulsions nous ont ête livres, le noter les valeurs cB trête (in 100 A) (mipulsion (const. temps 35 ms) et cB (A) rapide (200 ms).

Les mesures des diagrammes polarres de la figure 2 ont eté effectuées en plein air, le tireur étant place sur

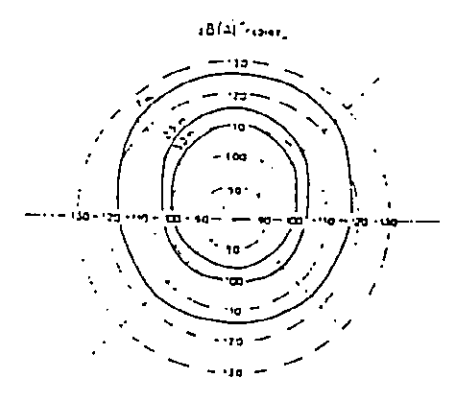
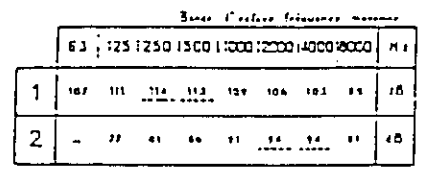


FIG 2 — Diagramma polaira das nivaeux sonores engandres par la fuell d'assaut à différentes distances ; — en naut : 0,3 et 1 m.

- em bas : 7,25 et 50 m.

un échafaudage de 1.50 m de hauteur afin d'éviter les reflexions des ondes sonores au sol.

Comme l'on pouvait s'y attendre les points les plus bruyants sont situes aux environs de la bouche à feu. Une difference de niveau de 15 dB est à constater entre l'embouchure de l'arme et l'oreille du tireur. Par ailleurs pour des distances plus grandes — 25 à 50 mètres — nous constatons



1. Rivers somers on in secure a four nature 27st, abstractment 2. on the forprocedule to the contract of

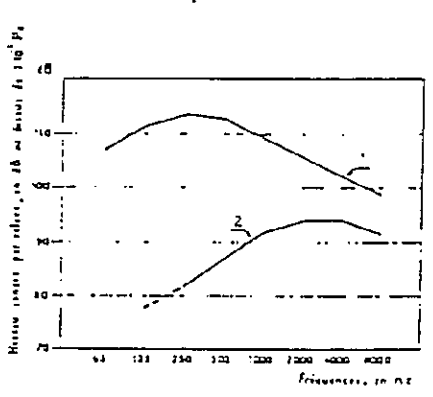


FIG. 3. -- Analyse spectrale du bruit du fusit d'assaut à 7 m latergrement.

- 1) Bouche a fee,
- 2) Déplacement du projectife.

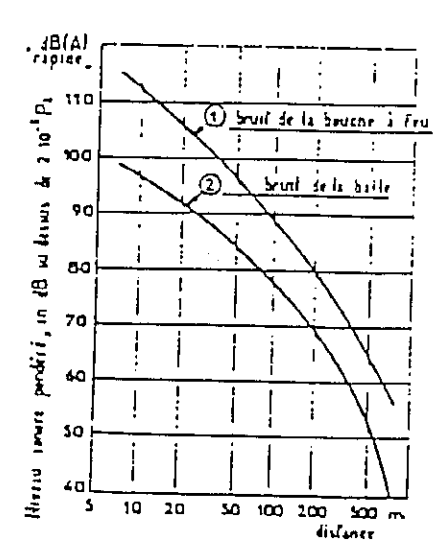


FIG. 4 — Niveaux sonores engeneres par le fuzil d'assaut à différentes distances de l'arms.

Revue d'Acquetique en 25 : igra

allongement de la courbe d'écai gay sonore en direction de la traprofre de la baile dù à l'importance ್ರಾದ್ರೆಂಗ್ plus grande du bruit engensta par le déplacement supersonique de sette dernière et au fait que le proit engendre par la bouche à feu peut être considére comme une source sonore ponctuelle contrairement au pruit supersonique qui est une source lineaire. Ca qui conquit pour des distances importantes à la forme theorique de la figure 4. La figure 3 montre que les spectres sonores sont fondamentalement différents. Le niveau sonore engenoré par la baile est pour une distance égale inférieur à caluiproduit par la bouche à feu.

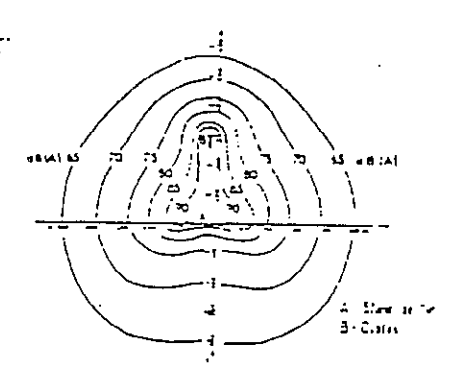


FIG. 5. — Chame sonore sux environs d'un stand de tir.

2.4 Recherche des limites a fixer au bruit du tir.

Afin de trouver la correlation existante entre les mesures pojectives du bruit et l'appreciation subjective de la gène, un tir d'essai a ete organise.

22 personnes exercant des professions différentes et reparties dans différentes classes d'âge furent convoquees à classifier la gêne de différents niveaux sonores, en :

- 1. pas de géne
- 2. peu de géne
- 3. géne moyenne
- 4. géne importante
- 5. géne insupportable.

Le programme comportant 16 positions de tir fut répéte quatre fois, chaque position était différente ce qui permit l'étalonnage des intensites sonores (50-120 dB (A) imp.) et la civer-

sification des spectres.

3. - MESURES DE PROTECTION A L'INTERIEUR DES STANDS

Ou un stand de tir soit un endroit très bruyant n'a rien d'étonnant, lorsque 10 à 30 tireurs effectuent simultanement leurs tirs. Aux valeurs sonores atteintes à l'oreille du tireur — 134 dB (A) (150 dB créte) — produites par son arme s'ajoute l'effet ces armes des tireurs voisins (132 dB (A)) qui maigre une valeur sonore effective plus faible est encore plus dangereux car l'angle d'incicence ce l'onde sonore est critique et l'oreille n'est pas dans le même stace auto-

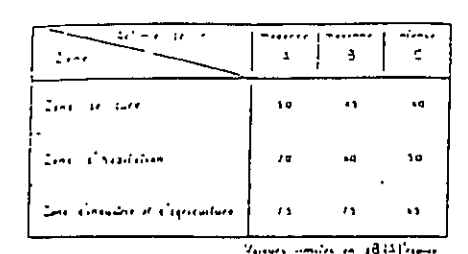


FIG .7 — Critere d'appreciation du bruit des tirs.



FIG. 3 — Ecran 3 reflexions attenuees • Systems Schneider •.

protectif que lorsque le tireir tire bimême.

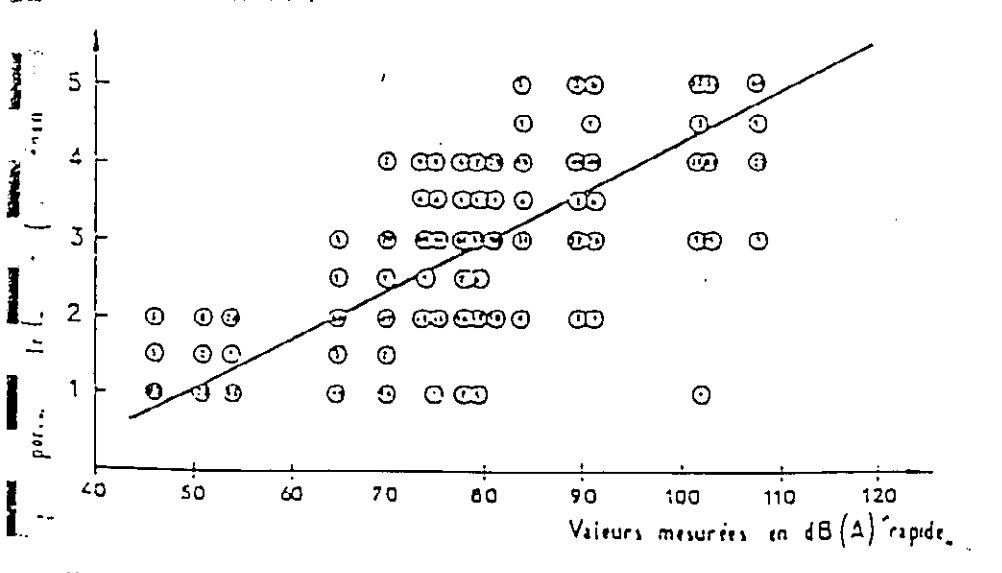
Relativement peu de tireurs portent un protecteur d'ouie efficace. La plupart se contentent d'ouate ayant un coefficient d'attenuation de 15 dB pour les frequences supérieures à 1,600 Hz. ce qui conduit inévitablement à des hypoacousies de 10 à 20 dB. D'actie part, plusieurs, formalités de tir imposent une conversation heure.isement réduite qui n'est naturellement pas possible avec des protecteurs d'ouie. Etant donné ces faits, il semble souhaitable d'étudier le problème de la réduction du bruit également à l'intérieur des stands de tir.

Une amélioration peut être atteinte en supprimant les échos flottants (figure 9) et en diminuant le taux de réverbération dans le local.

Les figures 10 et 11 sont des exemples de constructions modernes des stands de tir tenant compte de l'acoustique. Les parois non parallèles sont revêtues de matériaux absorbants permettant une réduction non seulement de la réverbération mais aussi dans une certaine mesure du niveau sonore. La forme des plafonds est établie en fonction de l'acoustique géometrique.

IG 5 — Appreciation suprective de la gene due au tir isole du fusil d'assaut. Importance de la gene (en ordonneel);

- t) inexistante
- 2) famble
- 3) mayenne
- 4) force
- 5) insupportable,



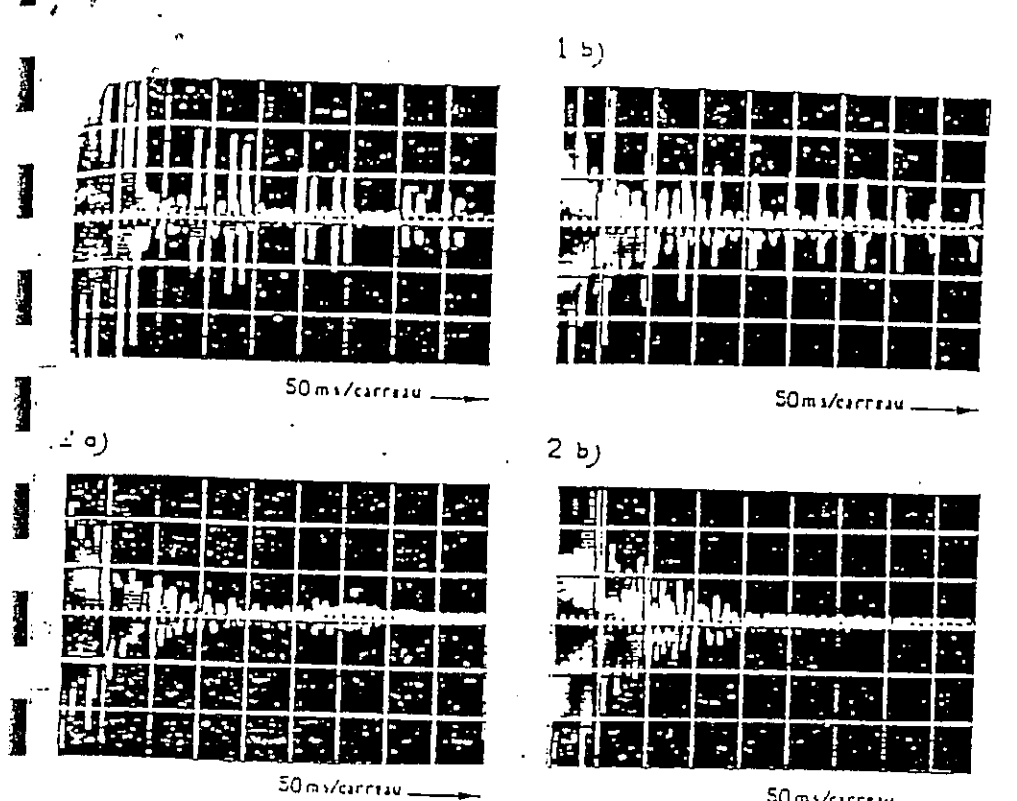
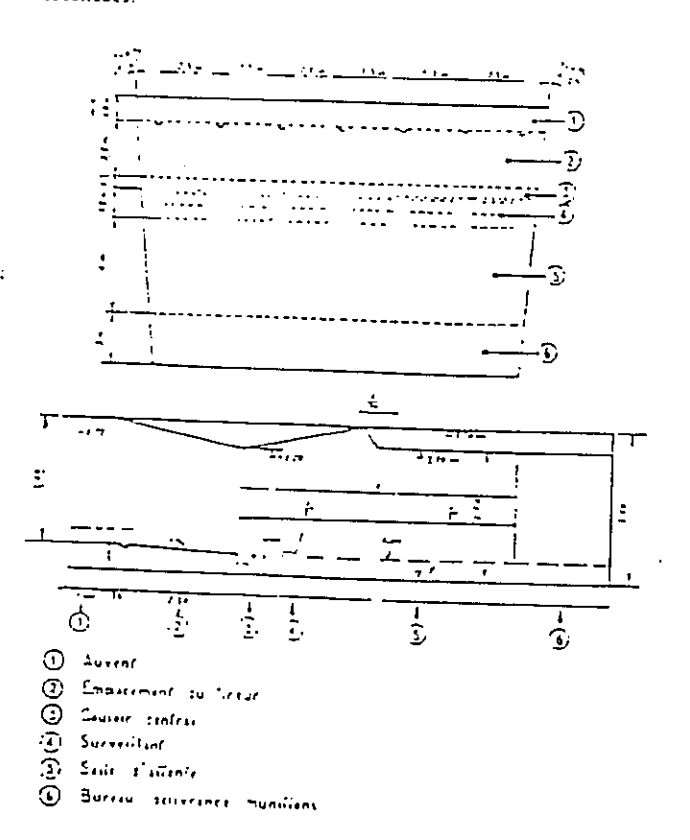


FIG. 3 — Oscillogramme des tirs à l'interieur des stands :

If exemple avec ecnos flottants marques
21 exemple sans acros flottants
at stores ouverts

b) stores 'ermes

FIG 10 - Exemple se formes de stands tenant compte des imperatifs



Connaissant le spectre sonore de la bouche à feu, il est possible de peterminer quels sont les materiaux ou combinaisons de materiaux les mieux adaptes à l'utilisation dans un stand de tir. Un coefficient d'absorption $\pi=9.75$ de 200 à 5.000 Hz est necessaire.

Une meilleure solution serait la construction d'un canal de tir pour chaque tireur. Nous avons à titre d'essait construit un tel canal ayant 3 m de longueur. I m de largeur et 2 m de hauteur. Les parois extérieures sont constituées de 12 cm de béton garni interieurement de 3 cm de laine minerale protegée par de la tôle perforée ayant une surface de perforation de 21 %, montée de telle sorte qu'un espace d'air de 1,5 cm soit encore présent.

Nous avons ensuite mesure la réduction sonore obtenue tant à l'intérieur qu'à l'exterieur du stand (voir fig. 12).

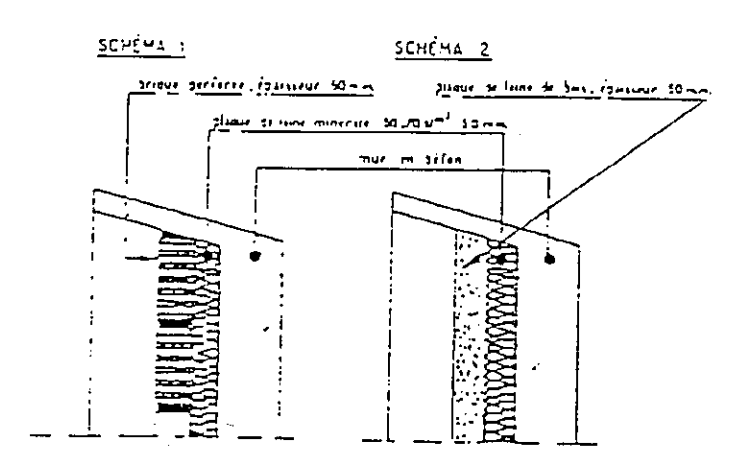
Les résultats obtenus sont tres bons et la reduction obtenue pour le contrôleur de tir et surtout pour le tireur voisin sont importants. A l'extérieur on obtient une réduction à une distance de 25 m de 5 dB pour un angie de 45° et 8 dB pour un angle de 55°. Pour des distances superieures ou des angles inférieurs l'effet est moindre, le canal n'étant à même que de diminuer le bruit de la bouche à feu.

Ensuite fut tracé dans un diagramme ayant pour abscisse les valeurs sonores mesurées en dB et pour ordonnee les notes de gêne, la droite de régression Y (figure 6).

De plus, le coefficient de correlation fut calculé pour les valeurs de mesure dB (A) rapide, r = 0.8898 : dB (A) imp., r = 0.8899 : dB (lin.), r = 0.8756.

Donc, pour mesurer la gêne aux alentours des stands de tir les courbes de pondération A rapide et A impulsif sont utilisables, par contre les valeurs maximum A crête sont moins indiquées.

FIG. 11 - Auventa traités du point de vue acoustique,

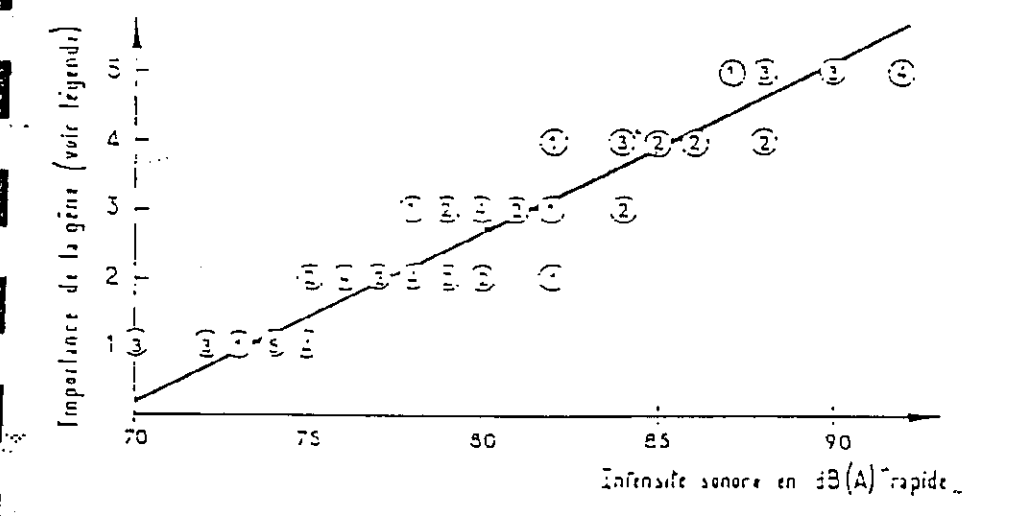


1							
3	1 .	w					
(P)		emire i a reguel en a astenden					
TIET & DE MESTACS	Year m	True m from sout rour som					
-	21w.18	1 :141	FEMILE				
<u> </u>		:e 1 r .1,25 = •	70 'cc 3 33 m c				
2 arenie zu confesioue ze be	722	113 - 1	(2) (2)				
3 4 Gerente 30 treue	134	*10 {=41	131				
2" 4 seemie 1'un licour cocsin	112	113	119 _13				
Tensen i 25 m 21, a nouche a feu 45° i gauthe ne fe meretien au fie	137	 '91 (-41	-				
Somern a 25m beite beutene f feu 55° a benie bei a preclien bu be	-3.	1=-1	7 % (+10)				
45' a gauene de la streetlen du fie	111	24 (-21	73 (-4)				
SS's grante de la gaverne la feu	,,,	19	49 .41				
Denier 2 75m pe à peuche à feu 30° à presse pr à pressent qu'ile	'*	30 (_3)	// (-11)				
Deneen 2 725m pr a pauche a feu 15% bereife pr a preschien quille	1.3	#2 (_1)	12 [-1]				

FIG 12. — Niveaux sonores mesures avec et sans

FIG. 12 — Appreciation subjective de l'effet de surprise du aux coups isoles (différentes armes) durant la conduite des venicules.

L'écnetie de quine en opprédonnée est la même qu'à la figure 5.



A la suite de cette etuce, il fut possible d'établir les valeurs maximum admissibles pour différentes zones urbaines — cesi en fonction de l'importance de la place de tir (figure 7).

4. — MESURES DE PROTECTION A L'EXTERIEUR DES STANDS DE TIR

Il est clair que la géne due au tir pourrait être requite par les moyens administratifs, par exemple

- reduction du nombre des tirs : par exemple les tirs ne seraient obligatoires que tous les deux ans :
- remoiacement de piusieurs petites installations régionales par une installation centrale unique;

 interdiction des tirs le dimanche matin, et reduction des heures de tir dans la soirée.

Par des moyens d'ordre constructif, en particulier pour de nouveaux stands de tir il est possible d'édicter les regles de construction suivantes :

- disposer le chamo de tir dans une dépression de terrain ou border celui-ci de remolais de 4-6 m de hauteur;
- disooser le chamo de tir dans une forét assez dense de facon à avoir, une largeur effective de forêt d'au moins 100 m :
- utiliser le stand de tir comme barrière acoustique, dans ce cas utili-

ger une construction lourde, et projonger les parois laterales du stand :

- Juns le cas ou aucune des mesures precedentes ne peut être realisee, calculer la distance minimum entre stand et habitations. Cette distance ne devrait alors en aucun cas être inférieure à 500 m.

Problème particulier des écrans :

Il a ete possible de trouver une solution meilleure au problème des ecrans protecteurs. Ces écrans sont generalement construits au moyen de piaques disposees verticalement, ce qui est naturellement défavorable — etant donné les reflexions. Par une construction speciale tenant compte de la geometrie, il est possible de recuire les reflexions tout en gardant le même materiel de construction (figure 2).

5. — LE PROBLEME PARTICULIER DES GRANDS CHAMP DE TIR

Etant donne les niveaux sonores atteints par les armes de gros calibres, il est clair que pour respecter les valeurs limites fixées pour les zones d'habitation voisines, des distances assez grandes sont necessaires. Alin de reduire ces distances, il est possible d'interposer une forêt, cellec; apportera une diminution de 7 a 10 dB supplémentaire par 100 m de largeur; 300 m de terrain libre plus 300 m de forêt diminuent le niveau maximum moyen de 50 d6.

Le cas d'une autoroute projetée le long d'un champ de tir nous à amene à étudier jusqu'à quel niveau sonore la mise à feu d'une arme lourde peut mettre en danger la circulation. Il fut procéde de la façon suivante : un canon de 10.5 cm fut placé en position et tira à intervalle irregulier. Pendant de temps, trois véhicules se mirent en route, parcourant des trajets différents en se rapprochant du canon. Les occupants des vehicules furent invites en cours de route à indiquer leurs impressions subjectives relatives à l'effet de surprise, classifier en :

1. inexistant; 2. faible; 3. admissible; 4. fort; 5. tres fort. A chaque appreciation fur note le niveau sonore à l'interieur du véhicule. Les trajets furent répétés trois fois. Les résultats furent ensuite interprétés en tracant la droite de régression ayant une ponte de 4.11 dB par note avec un cuefficient de correlation r = 0.35 (figure 13).

Notons que lorsque les fenitres d'une voiture sont fermées un coefficient d'atténuation de 20 dB est atteint, alors que l'attenuation n'est que de 3 à 5 dB lorsque cellaber sont ouvertes.

B Paullen de mesure egenement recouvente par e monticuse